

Das Doppelpendel

Im Lagrange-Formalismus mit Scilab

Im April 2025

Bernd Ragutt

Inhaltsverzeichnis

1	Das mathematische Doppelpendel.....	3
1.1	Die Newtonschen Bewegungsgleichungen.....	3
1.2	Die Lagrangeschen Bewegungsgleichungen.....	4
	Anhang.....	6
A.	Der Scilab-Code.....	6

1 Das mathematische Doppelpendel

1.1 Die Newtonschen Bewegungsgleichungen

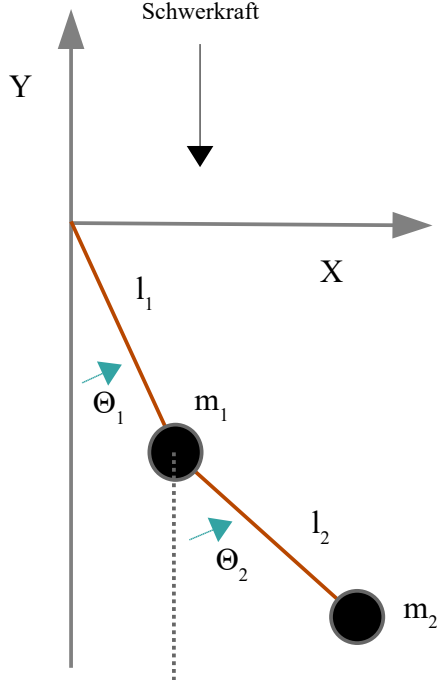


Abbildung 1: Bestimmungsgrößen für das Doppelpendel

Die Newton'schen Bewegungsgleichungen sind:	$m_1 \ddot{x}_1 = 0$ $m_1 \ddot{y}_1 = -m_1 g$ $m_2 \ddot{x}_2 = 0$ $m_2 \ddot{y}_2 = -m_2 g$
Die kartesischen Koordinaten erfüllen die zwei Zwangsbedingungen:	$x_1^2 + x_2^2 = l_1^2$ $(x_2 - x_1)^2 + (y_2 - y_1)^2 = l_2^2$
Es wirkt hier nur die Schwerkraft, die Corioliskraft, die durch die Erdrotation entsteht, und die Reibungskräfte, die durch die Luft entstehen, werden vernachlässigt. Das Problem wird als ebenes Problem behandelt – obwohl es durchaus spannend wäre, die Bewegungsvielfalt in drei Dimensionen zu betrachten.	

1.2 Die Lagrangeschen Bewegungsgleichungen

Als generalisierte Koordinaten werden die Auslenkwinkel θ_1 und θ_2 und deren Differenz $\Delta\theta = \theta_1 - \theta_2$ verwendet.	$x_1 = l_1 \sin \theta_1$ $y_1 = -l_1 \cos \theta_1$ $x_2 = x_1 + l_2 \sin \theta_2$ $y_2 = y_1 - l_2 \cos \theta_2$
Die kinetische Energie ergibt sich wie folgt aus den Geschwindigkeiten:	$v_1^2 = \dot{x}_1^2 + \dot{y}_1^2$ $T = \frac{1}{2} m_1 v_1^2 + \frac{1}{2} m_2 v_2^2$ $v_2^2 = \dot{x}_2^2 + \dot{y}_2^2$
Die potentielle Energie ist:	$V = m_1 g y_1 + m_2 g y_2$
$\dot{x}_1 = l_1 \cos \theta_1 \dot{\theta}_1$ $\dot{y}_1 = l_1 \sin \theta_1 \dot{\theta}_1$	$\dot{x}_2 = \dot{x}_1 + l_2 \cos \theta_2 \dot{\theta}_2$ $\dot{y}_2 = \dot{y}_1 + l_2 \sin \theta_2 \dot{\theta}_2$
$T = \frac{1}{2} (m_1 + m_2) l_1^2 \dot{\theta}_1^2 + \frac{1}{2} m_2 l_2^2 \dot{\theta}_2^2 + m_2 l_1 l_2 \dot{\theta}_1 \dot{\theta}_2 \cos \Delta\theta$	
$V = -(m_1 + m_2) g l_1 \cos \theta_1 - m_2 g l_2 \cos \theta_2$	
$\mu = \frac{m_2}{m_1 + m_2}$ $\lambda = \frac{l_2}{l_1}$ $\omega = \frac{g}{l_1}$	$m_2 \neq 0$ $l_1 \neq 0$
$T = \gamma_T (\dot{\theta}_1^2 + \mu \lambda^2 \dot{\theta}_2^2 + 2\mu \lambda \dot{\theta}_1 \dot{\theta}_2 \cos \Delta\theta)$	$\gamma_T = \frac{1}{2} (m_1 + m_2) l_1^2$
$V = \gamma_V (\cos \theta_1 + \mu \lambda \cos \theta_2)$	$\gamma_V = -(m_1 + m_2) l_1 g$
Die beiden Bewegungsgleichungen im Lagrange-Formalismus ergeben sich dann aus der Langrange-Funktion L und den Lagrange'schen Gleichungen.	$L \stackrel{\text{def}}{=} T - V$ $\frac{\partial L}{\partial \theta_1} - \frac{d}{dt} \frac{\partial L}{\partial \dot{\theta}_1} = 0$ $\frac{\partial L}{\partial \theta_2} - \frac{d}{dt} \frac{\partial L}{\partial \dot{\theta}_2} = 0$
$(m_1 + m_2) l_1 \ddot{\theta}_1 + m_2 l_2 \ddot{\theta}_2 \cos \Delta\theta + m_2 l_2 \dot{\theta}_2^2 \sin \Delta\theta + (m_1 + m_2) g \sin \theta_1 = 0$	
$m_2 l_1 \ddot{\theta}_1 \cos \Delta\theta + m_2 l_2 \ddot{\theta}_2 - m_2 l_1 \dot{\theta}_1^2 \sin \Delta\theta + m_2 g \sin \theta_2 = 0$	
$\ddot{\theta}_1 + \mu \lambda \cos \Delta\theta \ddot{\theta}_2 + \mu \lambda \sin \Delta\theta \dot{\theta}_2^2 + \omega \sin \theta_1 = 0$	
$\cos \Delta\theta \ddot{\theta}_1 + \lambda \ddot{\theta}_2 - \sin \Delta\theta \dot{\theta}_1^2 + \omega \sin \theta_2 = 0$	
$p_1 \stackrel{\text{def}}{=} \dot{\theta}_1$ $\dot{p}_1 = \ddot{\theta}_1$	$p_2 \stackrel{\text{def}}{=} \dot{\theta}_2$ $\dot{p}_2 = \ddot{\theta}_2$
$\dot{p}_1 + \mu \lambda \cos \Delta\theta \dot{p}_2 + \mu \lambda \sin \Delta\theta p_2^2 + \omega \sin \theta_1 = 0$	
$\cos \Delta\theta \dot{p}_1 + \lambda \dot{p}_2 - \sin \Delta\theta p_1^2 + \omega \sin \theta_2 = 0$	
$\begin{pmatrix} 1 & \mu \lambda \cos \Delta\theta \\ \cos \Delta\theta & \lambda \end{pmatrix} \begin{pmatrix} \dot{p}_1 \\ \dot{p}_2 \end{pmatrix} = \begin{pmatrix} -\mu \lambda \sin \Delta\theta p_2^2 - \omega \sin \theta_1 \\ \sin \Delta\theta p_1^2 - \omega \sin \theta_2 \end{pmatrix}$	
$\mathbf{p} = \begin{pmatrix} p_1 \\ p_2 \end{pmatrix}$	$\dot{\mathbf{p}} = \begin{pmatrix} \dot{p}_1 \\ \dot{p}_2 \end{pmatrix}$
$\mathbf{b} = \begin{pmatrix} b_1 \\ b_2 \end{pmatrix}$	$\boldsymbol{\theta} = \begin{pmatrix} \theta_1 \\ \theta_2 \end{pmatrix}$
	$\dot{\boldsymbol{\theta}} = \begin{pmatrix} \dot{\theta}_1 \\ \dot{\theta}_2 \end{pmatrix}$

$\mathbf{A} = \mathbf{A}(\theta)$	$\mathbf{b} = \mathbf{b}(\theta, p)$	$\mathbf{A} \dot{\mathbf{p}} - \mathbf{b} = 0$	$\dot{\mathbf{p}} = \mathbf{A}^{-1} \mathbf{b}$
Die Lagrangeschen Bewegungsgleichungen sind ausgeschrieben als Differentialgleichungen 1. Ordnung in Matrixform:		$\dot{\theta} = p$	$\dot{p} = \mathbf{A}^{-1}(\theta) \mathbf{b}(\theta, p)$
$\mathbf{A} = \begin{pmatrix} 1 & \mu \lambda \cos \Delta \theta \\ \cos \Delta \theta & \lambda \end{pmatrix}$	$\mathbf{b} = \begin{pmatrix} b_1 \\ b_2 \end{pmatrix}$	$b_1 = -\mu \lambda \sin \Delta \theta \ p_2^2 - \omega \sin \theta_1$	$b_2 = \sin \Delta \theta \ p_1^2 - \omega \sin \theta_2$
Determinante von \mathbf{A} $ \mathbf{A} = \lambda (1 - \mu \cos^2 \Delta \theta)$		Die inverse Matrix von \mathbf{A} $\mathbf{A}^{-1} = \frac{1}{ \mathbf{A} } \begin{pmatrix} \lambda & -\mu \lambda \cos \Delta \theta \\ -\cos \Delta \theta & 1 \end{pmatrix}$	
In dem wissenschaftlichen Werkzeugkasten Scilab kann man sich auch den Umweg über die inverse Matrix \mathbf{A}^{-1} sparen - wenn man sich die zusätzlichen Rechenzeit leisten will und kann :-)		Matrixgleichung in Scilab $\mathbf{A} \dot{\mathbf{p}} = \mathbf{b} \quad \mathbf{A} \neq 0$	Lösungsvektor der Matrixgleichung in Scilab $\dot{\mathbf{p}} = \mathbf{A} \setminus \mathbf{b}$

Anhang

A. Der Scilab-Code

Doppelpendel-Lagrange.sce

```

0001 // #####
0002
0003 // Pendelparameter
0004 // Längen (l1,l2) und Massen (m1,m2) der Pendel
0005 // Länge in Meter [m] , Masse in Kilogramm [kg]
0006
0007 // oberes Pendel 1
0008 l1=1.0; m1=1.0;
0009 // unteres Pendel 2
0010 l2=1.0; m2=1.0;
0011
0012 // #####
0013 // Anfangsbedingungen für die Differentialgleichungen
0014
0015 // Auslenkungen (wi_0, i=1,2) und Winkelgeschwindigkeiten (widot_0, i=1,2) der beiden Massen
0016 // Auslenkungen in Bogengrad [°]
0017 // Winkelgeschwindigkeiten in Bogengrad pro Zeiteinheit [°/s]
0018
0019 // Auslenkungen
0020 w1_0=90.0; w2_0=90.0;
0021
0022 // Winkelgeschwindigkeiten
0023 w1dot_0=0.0; w2dot_0=0.0;
0024
0025 // zeitliche Simulationsdauer
0026 tEnd=11; // Dauer in Zeiteinheiten
0027
0028 // #####
0029 funcprot(0);
0030
0031 // Import sci-Module
0032
0033 pathdir = get_absolute_file_path('Doppelpendel-Lagrange.sce');
0034 exec(pathdir + 'Module/dpLagrange-DGLAlgorithmen.scı');
0035 exec(pathdir + 'Module/dpLagrange-DGLSystem.scı');
0036 exec(pathdir + 'Module/dpLagrange-EnergieAlgorithmen.scı');
0037 exec(pathdir + 'Module/dpLagrange-OrtsAlgorithmen.scı');
0038 exec(pathdir + 'Module/dpLagrange-OrtsSimulation.scı');
0039 exec(pathdir + 'Module/dpLagrange-EnergieAusgaben.scı');
0040
0041 // #####
0042
0043 // Umrechnungsfunktion Bogengrad nach Radian
0044 function y=fd2r(x),y=x*%pi/180,endfunction;
0045 // Umrechnungsfunktion Radian nach Bogengrad
0046 function y=fr2d(x),y=x*180.0/%pi,endfunction;
0047
0048 // #####
0049 // zeitliche Simulationsdaten
0050
0051 tBegin=0; t0=tBegin;
0052 stepTime=1/50; // Bilder pro Zeiteinheit
0053 tSteps=(tEnd-tBegin)/stepTime;
0054 tData=linspace(tBegin,tEnd,tSteps);
0055
0056 // Anfangsbedingungen nach Radian konvertieren und als Liste packen
0057 w1_0=fd2r(w1_0); w2_0=fd2r(w2_0);
0058 w1dot_0=fd2r(w1dot_0); w2dot_0=fd2r(w2dot_0);
0059 y0=[w1_0;w2_0;w1dot_0;w2dot_0];
0060
0061 // #####
0062 // #####
0063
0064 // Lösen der Lagrangeschen Bewegungsgleichungen
0065 yData=dpLagrange_Solver(y0,t0,tData);
0066
0067 // #####
0068
0069 // Ausgaben der Energie-Daten
0070 if %T then fdpLagrange_Ausgabe(tData,yData) end;
0071
0072 // Simulation des Doppelpendels im Ortsraum
0073 if %F then fdpLagrange_Simulation(yData) end;
0074
0075 // #####
0076 disp('Beendet: Doppelpendel-Lagrange.sce');

```

dpLagrange-DGLAlgorithmen.sci

```

0001 // Algorithmen für das Doppelpendel im Lagrange-Formalismus
0002 // #####
0003 // Gravitationskonstante
0004 // #####
0005
0006 gc=9.81; // [m/s^2]
0007 // #####
0008 // #####
0009 // Abgeleitete Konstanten
0010
0011 mue=m2/(m1+m2);
0012 lbd=l2/l1;
0013 omg=gc/l1;
0014 gmt=0.5*(m1+m2)*l1^2;
0015 gmv=-(m1+m2)*l1*gc;
0016
0017 // #####
0018 // #####
0019
0020 function rwdot=fwdot(w1, w2, p1, p2)
0021   rwdot=[p1,p2];
0022 endfunction;
0023
0024 // #####
0025
0026 function rA=fA(w1, w2, p1, p2)
0027   rA(1,1)=1.0;
0028   rA(1,2)=mue*lbd*cos(w1-w2);
0029   rA(2,1)=cos(w1-w2);
0030   rA(2,2)=lbd;
0031 endfunction;
0032
0033 function rb1=fb1(w1, w2, p1, p2)
0034   rb1=-mue*lbd*sin(w1-w2)*p2^2-omg*sin(w1);
0035 endfunction;
0036
0037 function rb2=fb2(w1, w2, p1, p2)
0038   rb2=sin(w1-w2)*p1^2-omg*sin(w2);
0039 endfunction;
0040
0041 function rb=fb(w1, w2, p1, p2)
0042   rb(1)=fb1(w1,w2,p1,p2);
0043   rb(2)=fb2(w1,w2,p1,p2);
0044 endfunction;
0045
0046 function rpdot=fpdot(w1, w2, p1, p2)
0047   A=fA(w1,w2,p1,p2);
0048   b=fb(w1,w2,p1,p2);
0049   rpdot=A\b;
0050 endfunction;
0051
0052 // #####
0053 // #####
0054 disp('Geladen: dpLagrange-DGLAlgorithmen.sci');

```

dpLagrange-DatenAufbereitung.sci

```

0001 // #####
0002 // Berechnung der Energien aus den Anfangsbedingungen über kartesische
0003 // Koordinaten - als Vergleichswerte genutzt.
0004
0005 // Kinetische Energie
0006 function rekin_kart=fekin_kart(w1, w2, w1d, w2d)
0007   x1d=11*cos(w1)*w1d;
0008   y1d=11*sin(w1)*w1d;
0009   v1q=x1d^2+y1d^2;
0010   x2d=x1d+12*cos(w2)*w2d;
0011   y2d=y1d+12*sin(w2)*w2d;
0012   v2q=x2d^2+y2d^2;
0013   rekin_kart=0.5*(m1*v1q+m2*v2q);
0014 endfunction;
0015
0016 // Potentielle Energie
0017 function repot_kart=fepot_kart(w1, w2)
0018   y1=-11*cos(w1);
0019   y2=y1-12*cos(w2);
0020   repot_kart=m1*gc*y1+m2*gc*y2;
0021 endfunction;
0022
0023 // Totale Energie
0024 function retot_kart=fetot_kart(w1, w2, w1d, w2d)
0025   retot_kart=fekin_kart(w1,w2,w1d,w2d)+fepot_kart(w1,w2);
0026 endfunction;
0027
0028 // #####
0029 // Berechnung der Energien aus den Winkelkoordinaten
0030
0031 // Funktion für die kinetische Energie
0032 function rekin=fekin(w1, w2, w1d, w2d)
0033   rekin=gmt*(w1d^2+mue*1bd^2*w2d^2+0*mue*1bd*w1d*w2d*cos(w1-w2));
0034 endfunction;
0035
0036 // Funktion für die potentielle Energie
0037 function repot=fepot(w1, w2)
0038   repot=gmv*(cos(w1)+mue*1bd*cos(w2));
0039 endfunction;
0040
0041 // Funktion für die totale Energie
0042 function retot=fetot(w1, w2, w1d, w2d)
0043   retot=fekin(w1,w2,w1d,w2d)+fepot(w1,w2);
0044 endfunction;
0045
0046 // #####
0047
0048 function rekindata=fekindata(ydata)
0049   for i=1:size(ydata,"c")
0050     w1=ydata(1,i);
0051     w2=ydata(2,i);
0052     p1=ydata(3,i);
0053     p2=ydata(4,i);
0054     rekindata(i)=fekin(w1,w2,p1,p2);
0055   end
0056 endfunction;
0057
0058 function repodata=fepodata(ydata)
0059   for i=1:size(ydata,"c")
0060     w1=ydata(1,i);
0061     w2=ydata(2,i);
0062     repodata(i)=fepot(w1,w2);
0063   end
0064 endfunction;
0065
0066 function retot=fetot(w1, w2, p1, p2)
0067   retot=fekin(w1,w2,p1,p2)+fepot(w1,w2)
0068 endfunction;
0069
0070 function retotdata=fetotdata(ydata)
0071   for i=1:size(ydata,"c")
0072     w1=ydata(1,i);
0073     w2=ydata(2,i);
0074     p1=ydata(3,i);
0075     p2=ydata(4,i);
0076     retotdata(i)=fetot(w1,w2,p1,p2);
0077   end
0078 endfunction;
0079
0080 // #####
0081 disp('Geladen: dpLagrange-DatenAufbereitung.sci');

```

dpLagrange-OrtsAlgorithmen.sci

```
0001 // #####  
0002 // Berechnung der kartesischen Koordinaten der beiden Pendelmassen aus den  
0003 // berechneten Winkeldaten  
0004  
0005 function rposdata=fposdata(yData)  
0006   for i=1:size(yData,"c")  
0007     w1=yData(1,i);  
0008     w2=yData(2,i);  
0009     x1=l1*sin(w1);  
0010     y1=(-1)*l1*cos(w1);  
0011     x2=x1+l2*sin(w2);  
0012     y2=y1-l2*cos(w2);  
0013     rposdata(1,i)=x1;  
0014     rposdata(2,i)=y1;  
0015     rposdata(3,i)=x2;  
0016     rposdata(4,i)=y2;  
0017   end;  
0018 endfunction;  
0019  
0020 // #####  
0021 // #####  
0022 disp('Geladen: dpLagrange-OrtsAlgorithmen.sci');
```

dpLagrange-DGLSystem.sci

```

0001 // #####
0002 function yData=dpLagrange_Solver(y0, t0, tD)
0003
0004 // Lagrangesches Differentialgleichungssystem
0005 function ydot=fdpLagrange(t, y)
0006   w1=y(1); w2=y(2);
0007   p1=y(3); p2=y(4);
0008   wd=fwdot(w1,w2,p1,p2);
0009   pd=fpdot(w1,w2,p1,p2);
0010   ydot=wd(1)*[1;0;0;0] ..
0011     +wd(2)*[0;1;0;0] ..
0012     +pd(1)*[0;0;1;0] ..
0013     +pd(2)*[0;0;0;1];
0014
0015 endfunction;
0016
0017 // Lösung der Differentialgleichungen
0018 // Scilab-Solver-Methode:
0019 // "Isoda solver of package ODEPACK is called by default.
0020 // It automatically selects between nonstiff predictor-corrector Adams
0021 // method and stiff Backward Differentiation Formula (BDF) method.
0022 // It uses nonstiff method initially and dynamically monitors data in
0023 // order to decide which method to use."
0024 fdp=fdpLagrange;
0025 yData=ode(y0,t0,tData,fdp);
0026
0027 // // scilab-Solver-Methode: Adaptive Runge-Kutta of order 4 (RK4)
0028 // // yData=ode("rk",y0,t0,tData,fdp);
0029 endfunction;
0030
0031 // #####
0032 disp('Geladen: dpLagrange-DGLSystem.sci');

```

dpLagrange-EnergieAusgaben.sci

```

0001 // #####
0002 // Ausgabe der Daten
0003 //
0004 // #####
0005
0006 function fdpLagrange_Ausgabe(tData, yData)
0007
0008 etotdata=fetotdata(yData);
0009 ekindata=fekindata(yData);
0010 epodata=fepotdata(yData);
0011
0012 etot0=etotdata(1); // Gesamtenergie, Konstante der Bewegung
0013 px_etot=[tBegin;tEnd];
0014
0015 delta_etot=etotdata-etot0;
0016 delta_etot0=delta_etot(1);
0017
0018 // #####
0019
0020 my_handle1=scf(1);
0021 clf(my_handle1,"reset");
0022
0023 a=gca();
0024 a.x_label.text = "Zeit [s]";
0025 a.y_label.text = "Energien [Joule]";
0026
0027 xgrid(color("lightgrey"));
0028 xtitle('Doppelpendel - Energieverhalten über die zeit');
0029
0030 plot(tData,etotdata,'red');
0031 plot(tData,ekindata,'blue');
0032 plot(tData,epodata,'green');
0033
0034 py_etot=[etot0;etot0];
0035 e=xpoly(px_etot,py_etot);
0036 e.foreground=color('scilabmagenta3');
0037
0038 legend(['Etot(t)';'Ekin(t)';'Epot(t)';'Etot'],'lower_caption',%f);
0039
0040 // #####
0041
0042 my_handle2=scf(2);
0043 clf(my_handle2,"reset");
0044 a=gca();
0045
0046 a.x_label.text = "Zeit [s]";
0047 a.y_label.text = "Abweichungen vom physikalischen Wert Etot [Joule]";
0048
0049 xgrid(color("lightgrey"));
0050 xtitle('Doppelpendel - Energieverhalten über die zeit');
0051
0052 plot(tData,delta_etot,'red');
0053
0054 py_etot=[delta_etot0;delta_etot0];
0055 e=xpoly(px_etot,py_etot);
0056 e.foreground=color('scilabmagenta3');
0057
0058 legend(['Etot(t) - Etot';'Etot'],'lower_caption',%f);
0059
0060 // #####
0061
0062 mean_etotdata=mean(etotdata);
0063 mean_ekindata=mean(ekindata);
0064 mean_epodata=mean(epodata);
0065
0066 max_etotdata=max(etotdata);
0067 max_ekindata=max(ekindata);
0068 max_epodata=max(epodata);
0069
0070 min_etotdata=min(etotdata);
0071 min_ekindata=min(ekindata);
0072 min_epodata=min(epodata);
0073
0074 init_etot=etotdata(1);
0075 init_ekin=ekindata(1);
0076 init_epot=epodata(1);
0077
0078 // Zur Kontrolle der Algorithmen
0079 kart_ekin=fekin_kart(w1_0,w2_0,w1dot_0,w2dot_0);
0080 kart_epot=fepot_kart(w1_0,w2_0);
0081 kart_etot=fetot_kart(w1_0,w2_0,w1dot_0,w2dot_0);
0082
0083 disp(' ');
0084 disp('---');
0085 disp('kart_ekin : '+ string(kart_ekin));
0086 disp('init_ekin : '+ string(init_ekin));
0087 disp('mean_ekindata : '+ string(mean_ekindata));
0088 disp('max_ekindata : '+ string(max_ekindata));
0089 disp('min_ekindata : '+ string(min_ekindata));
0090 disp('---');
0091 disp('kart_epot : '+ string(kart_epot));
0092 disp('init_epot : '+ string(init_epot));

```

```
0093 disp('mean_epotdata: '+ string(mean_epotdata));
0094 disp('max_epotdata : '+ string(max_epotdata));
0095 disp('min_epotdata : '+ string(min_epotdata));
0096 disp('---');
0097 disp('kart_etot    : '+ string(kart_etot));
0098 disp('init_etot    : '+ string(init_etot));
0099 disp('mean_etotdata: '+ string(mean_etotdata));
0100 disp('max_etotdata : '+ string(max_etotdata));
0101 disp('min_etotdata : '+ string(min_etotdata));
0102 disp('---');
0103 // disp((etotdata-etot1)/etot1);
0104
0105 endfunction;
0106
0107 // #####
0108 disp('Geladen: dpLagrange-EnergieAusgaben.sci');
```

dpLagrange-OrtsSimulation.sci

```

0001 // #####
0002 // Simulieren der Orts-Daten
0003
0004 // #####
0005 // zeichnerische Ausgabe der Ortsdaten der beiden Pendelmassen
0006
0007 function fdpLagrange_Simulation(yData)
0008
0009   posdata=fposdata(yData);
0010   nbpionts=size(posdata,"c");
0011
0012   xmax=(l1+l2)*1.05;
0013   xmin=(-l1)*xmax;
0014   ymax=xmax;
0015   ymin=xmin;
0016
0017   whiteid=color("white");
0018
0019   my_handle = scf(100001);
0020   clf(my_handle,"reset");
0021
0022   drawlater;
0023
0024   // Achsen zeichnen
0025   plot2d(0,0,-1,rect=[xmin,ymin,xmax,ymax],frameflag=7);
0026   drawnow();
0027
0028   // Nur keine Hektik
0029   sleep(3000);
0030   realtimeinit(stepTime);
0031   realtime(0);
0032
0033   // Schrittweise Ausgabe der Simulation
0034   for i=1:nbpionts
0035     drawlater;
0036
0037   if i>1 then
0038     // Gezeichnete Kreuze und Stangen der letzten Ausgabe
0039     // werden in weiß überschrieben.
0040
0041     plot2d(posdata(1,i-1),posdata(2,i-1),-1,rect=[xmin,ymin,xmax,ymax],frameflag=7)
0042     p = get("hdl");
0043     p.children.mark_mode = "on";
0044     p.children.mark_foreground = whiteid;
0045
0046     plot2d(posdata(3,i-1),posdata(4,i-1),-1,rect=[xmin,ymin,xmax,ymax],frameflag=7)
0047     p = get("hdl");
0048     p.children.mark_mode = "on";
0049     p.children.mark_foreground = whiteid;
0050
0051     px=[0;posdata(1,i-1)];
0052     py=[0;posdata(2,i-1)];
0053     e=xpoly(px,py);
0054     e.foreground=whiteid;
0055
0056     px=[posdata(1,i-1);posdata(3,i-1)];
0057     py=[posdata(2,i-1);posdata(4,i-1)];
0058     e=xpoly(px,py);
0059     e.foreground=whiteid;
0060   end;
0061
0062   // Zeichnet das untere Kreuz der oberen Stange das mittlere Kreuz, in schwarz
0063   plot2d(posdata(1,i),posdata(2,i),-1,rect=[xmin,ymin,xmax,ymax],frameflag=7);
0064
0065   // Zeichnet das untere Kreuz der unteren Stange, in schwarz
0066   plot2d(posdata(3,i),posdata(4,i),-1,rect=[xmin,ymin,xmax,ymax],frameflag=7);
0067
0068   // Zeichnet die obere Stange
0069   px=[0;posdata(1,i)];
0070   py=[0;posdata(2,i)];
0071   xpoly(px,py);
0072
0073   // Zeichnet die untere Stange
0074   px=[posdata(1,i);posdata(3,i)];
0075   py=[posdata(2,i);posdata(4,i)];
0076   xpoly(px,py);
0077
0078   // Zeichnet das fixe obere Kreuz der oberen Stange, in schwarz
0079   plot2d(0,0,-1,rect=[xmin,ymin,xmax,ymax],frameflag=7);
0080
0081   // Warten bis zum nächsten Zyklus
0082   realtime(i);
0083   drawnow();
0084 end;
0085
0086 endfunction;
0087
0088 // #####
0089 disp('Geladen: dpLagrange-Ortssimulation.sci');

```